

- Пікуш М. В. Гідрологічні дослідження водоймищ на Дніпрі.— Вісн. АН УРСР, 1975, № 2.
- Ресурсы поверхностных вод СССР, т. 6. Украина и Молдавия, вып. 2. Среднее и Нижнее Приднепровье. Под ред. М. Г. Каганера. Л., Гидрометеоиздат, 1971.

Інститут геологіческих наук
АН УССР

Статья поступила
15.I 1976 г.

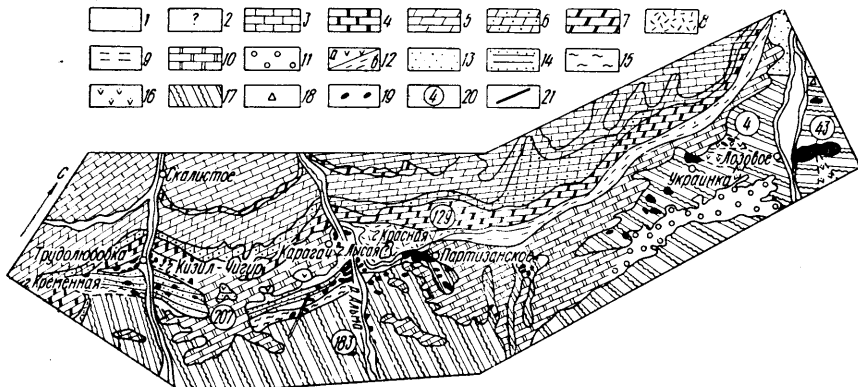
УДК 552.11

РЕЗУЛЬТАТЫ МИКРОРЕНТГЕНОВСКОГО ИЗУЧЕНИЯ СУЛЬФИДОВ И МАГНЕТИТОВ ИЗВЕРЖЕННЫХ ПОРОД СЕВЕРО-ЗАПАДНОЙ ЧАСТИ ГОРНОГО КРЫМА

B. A. Семка, L. G. Самойлович, I. N. Бондаренко

В тектоническом плане указанный район известен под названием «Качинский антиклиниорий»; центральная и северная части его сложены верхнетриасовыми-среднеюрскими отложениями. Расположен он в бассейнах средних течений рек Салгир, Альма и Бодрак (см. рисунок).

Флишевые и флишоидные отложения таврической серии, слагающие ядро Качинского поднятия, дислоцированы чрезвычайно сильно: они смяты в мелкие складки, осложненные разрывами, и часто раздроблены. К ядру антиклиниория приурочено большое количество интрузивных тел основного состава, главным образом пластовых интрузий и



Схематическая геологическая карта района сел Трудолюбовка—Лозовое (по данным Р. Н. Кочуровой [2]).

1 — аллювиальные отложения (0); 2 — красные среднезернистые песчаники ($Q_?$); 3 — нуммулитовые известняки, глины, мергели (Pg); 4 — песчанистые мергели и известняки ($Cr_2MSt+Dn$); 5 — мергели (Cr_2Cn); 6 — мергели с конкрециями кремней (Cr_2Tur); 7 — мергели с глауконитовыми песчаниками в основании (Cr_2Gm); 8 — песчаники с редкими прослоями глин (Cr_1Alb); 9 — глины (Cr_1Apt); 10 — известняки с редкими прослоями песчаников (Cr_1Ht+Bt); 11 — конгломераты (Cr_1Val); 12 — вулканогенное-осадочная свита (J_2): а — глинистые сланцы, б — вулканогенный комплекс; 13 — conglomerates (J_2); 14 — флишоидная толща (J_{1+2}); 15 — глинистые сланцы с линзами известняков (J_1); 16 — вулканогенный комплекс (T_3+J_1); 17 — таврическая свита (T_3+J_1); 18 — глыбы пермских и каменноугольных известняков; 19 — интрузии порфиров и диабазов; 20 — места взятия образцов; 21 — тектонический контакт.

даек. Крылья антиклиниория сложены среднеюрскими породами, которые несогласно перекрыты породами верхней юры и нижнего мела.

Южное крыло осложнено рядом куполовидных складок, разбитых сбросами. К нему приурочены выходы среднеюрской вулканогенной толщи в верховьях Бельбека, Качи и Альмы. На водоразделе Альмы и Салгиря северо-западное крыло Качинского антиклиниория несогласно перекрыто полого залегающими отложениями готерива и выходит на поверхность в долине р. Салгир у с. Лозовое. Эта часть северо-западно-

го крыла антиклиниория (Курцовская антиклиналь) представлена круто залегающими пластами конгломератов средней юры и нижележащими эскиординскими отложениями. К последним приурочена вулканогенная толща окрестностей с. Лозовое [3]. Переход от крыла к ядру Курцовой антиклинали устанавливается по появлению пород нижнетаврической свиты, включающей в районе с. Петропавловка вулканогенную толщу верхнетриасового возраста [4]. Магматические образования этого района представлены эфузивами спилито-диабазового и базальтового ряда, гипабиссальными телами, которые сложены диабазами, габбро-диабазами, дакитовыми порфиритами и пирокластическими породами.

С целью изучения элементов-примесей в пирите, сфалерите и магнетите и возможности определения температуры образования вулкаников северо-западной части Горного Крыма проанализировано пять образцов (см. таблицу). Анализ указанных минералов выполнен в лаборатории рентгено-спектральных методов исследования ИГФМ АН УССР под руководством О. П. Шаркина.

Пириты исследованы на следующие элементы: Fe, Cu, Co, Ni, S, Se. Во всех образцах пиритов Cu, Co, Ni, Se не обнаружены. На основании полученных содержаний Fe и S рассчитаны кристаллохимические формулы пиритов. Некоторый избыток серы отмечается в пиритах лав с. Петропавловка и габбро-диабазов Бешуйского силла. Пириты дакитовых порфиритов с. Партизанское, альбитовых диабазов с. Лозовое и диабазовых порфиритов с. Трудолюбовка характеризуются дефицитом серы. В пирите с. Трудолюбовка обнаружено присутствие мышьяко-содержащих включений, не поддающихся диагностике указанным методом из-за субмикроскопических размеров.

Сфалерит был встречен в виде включения в пирите с. Петропавловка и проанализирован на следующие компоненты: Fe, Zn, Cd, S, Se (Se и Cd не обнаружены). Хотя в последнее время геотермометр Г. Куллеруда [6] считают сомнительным, авторы сочли необходимым привести температуру образования сфалерита: она равна 560° С.

Магнетиты были проанализированы на следующие элементы: Fe, Ti, V, Mn, Ni и Cr. Все магнетиты оказались титаносодержащими (за исключением магнетита с. Партизанское), что позволяет отнести их к титаномагнетитам. Титаномагнетиты вулканогенной толщи с. Петропавловка тесно прорастают шпинелью (?), образуя субграфическую структуру, в отличие от однородных титаномагнетитов других участков. Использованный метод анализа не позволяет определить содержание Mg и Al для окончательной диагностики шпинели. В титаномагнетите с. Петропавловка V, Ni, Cr не обнаружены. Для титаномагнетитов габбро-диабазов Бешуйского силла и альбитовых диабазов с. Лозовое характерно присутствие V. В магнетите дакитовых порфиритов с. Партизанское никаких примесей не обнаружено.

Структурные особенности титаномагнетитов позволяют судить о глубине образования магматических тел. Так, субграфическая структура титаномагнетита свидетельствует о поверхностных условиях образования магматических пород, в то время как однородные титаномагнетиты характерны для гипабиссальных тел. Это связано с различными условиями кристаллизации магмы на глубине и в поверхностных условиях.

А. Ф. Беддингтон, Д. Фейхи и А. Влисайдс [5] установили, что количество TiO_2 в магнетите, связанное с ильменитом, уменьшается с понижением температуры образования. На основании данных указанных авторов Э. Ингерсон [1] построил схематическую диаграмму, показывающую порядок величин температуры, ожидаемой для магнетитов с различным содержанием TiO_2 . Исходя из этой диаграммы, температура образования основных пород северо-западной части Горного Крыма колеблется в пределах 980—1100° С.

Результаты микрорентгеновского анализа сульфидов и титаномагнетитов изверженных пород северо-западной части Горного Крыма

Номер об-разца	Место взятия пробы	Минерал	Содержание элементов, вес. %						TiO ₂ , вес. %	Кристаллохимическая формула	% FeS в ZnS	T°, по Г. Куллеруду	T°, по Ингерсону
			Fe	Zn	Ti	Mn	V	S					
4-с	с. Петропавловка	Пирит	46,4					53,4					
		Сфалерит	11,5	54,9				33,3		(Zn _{0,804} Fe _{0,196}) _{1,0} S _{0,998}	19,6	560	
		Титаномагне-тит (?)	32,7		17,2	4,8			28,7				1100
43-с	с. Лозовое	Пирит	47,1					53,4		FeS _{1,983}			
		Титаномагне-тит	57,6		12,3		0,8		20,5				980
129-с	Школьный массив, с. Партизанское	Пирит	46,6					53,4		FeS _{1,996}			
		Магнетит	68,9		3,5				5,8				
183-с	Бешуйский силл, с. Дровянка	Пирит	46,2					53,4		FeS _{2,013}			
		Титаномагне-тит	56,0		13,2		1,1		22,0				1000
207-с	с. Трудолюбовка	Пирит	46,0					52,6		FeS _{1,996}			

ЛИТЕРАТУРА

1. Ингерсон Э. Методы и проблемы геологической термометрии.— В кн.: Проблемы рудных месторождений. М., ИЛ, 1959.
2. Кочуров Р. Н. Магматизм северо-западной части Горного Крыма. Изд-во Ленингр. ун-та, 1968.
3. Лебединский В. И., Макаров Н. Н. Вулканализм Горного Крыма. Киев, Изд-во АН УССР, 1962.
4. Лебединский В. И., Шалимов А. И. Верхнетриасовый вулканализм в Крыму.— ДАН СССР, 1960, т. 132, № 2.
5. Buddington A. F., Fahey J., Vlasisidis A. Titaniferous magnetite as a geologic thermometer.— Am. J. Sci., 1955, 253.
6. Kullerud G. The Fe—ZnS system as a geological thermometer.— Norsk Geol. Tidsskr., 1953, 32.

Институт геохимии
и физики минералов АН УССР

Статья поступила
4.II 1976 г.

УДК 553.1

КОНВЕРГЕНТНОСТЬ РУДНЫХ ЗАЛЕЖЕЙ И ВАРИАЦИИ ИЗОТОПОВ СЕРЫ (на примере месторождений Карпато-Балканской области)

Ф. И. Жуков

Формирование рудных месторождений в настоящее время связывают с суммой процессов, неразрывных с геологической историей развития конкретного района. Однозначное суждение о природе рудной минерализации в пределах вулканических аппаратов и их ближайшей периферии сменяется мнением о полигенном формировании рудных залежей под влиянием ряда эндогенных и экзогенных процессов (при едином первичном источнике рудного вещества) и наложенных на них впоследствии различного рода метаморфических преобразований. В развитие взглядов В. И. Смирнова [4] на конвергенцию рудных залежей колчеданных месторождений автором проводились исследования на вулканогенных месторождениях урана пермского возраста Карпато-Балканской складчатой области [1—3].

В пределах этих месторождений выделены пять морфогенетических типов рудных залежей (рис. 1), отличных друг от друга по структурным, минералогическим, геохимическим и другим признакам.

I тип. Вкрашенные и прожилково-вкрашенные руды образуют эллипсоидные тела в кварцевых порфирах, постепенно «расторвоясь» во вмещающих породах аналогичного состава. Визуально отличить рудные породы от безрудных трудно, так как они имеют одинаковую массивную текстуру и цвет. Рудные породы отличаются лишь концентрацией вкрапленников пирита, халькопирита, настурана и других рудных минералов.

II тип. Прожилково-трещинная (реже жильная) минерализация. Встречается в субвулканических разрывных структурах, а также в цементе эксплозивных брекчий гранофиров и кварцевых порфиров мелких паразитических центров. В последних рудные залежи наследуют их объемную форму. По минеральному составу эти руды практически не отличаются от руд I типа.

III тип. Линзообразные метасоматические залежи вблизи субвулканических разрывных структур. Рудный материал здесь замещает цемент туфобрекчий и туфоконгломератов. Из рудных минералов установлены: настурит, урановые черни, пирит, халькопирит, молибденит,

ГЕОЛОГИЧЕСКИЙ ЖУРНАЛ

Научный журнал, основан в 1934 г. Выходит 6 раз в год

СЕНТЯБРЬ—ОКТЯБРЬ

КИЕВ

«НАУКОВА ДУМКА»

СОДЕРЖАНИЕ

Балуховский Н. Ф., Гонта З. Т. Органо-геохимические закономерности размещения залежей нефти и газа в нижнем карбоне северной части Днепровско-Донецкой впадины 3 ✓

Краснощек А. Я. Системы разломов фундамента и их взаимосвязь со структурами осадочного чехла в пределах Северного Причерноморья 10 ✓

Белявский Г. А., Бурлаченко В. Д., Емельянов В. А., Качанов Н. Н. Новые данные об осадкообразовании в экваториальной зоне Индийского океана (По результатам XI рейса НИС «Академик Вернадский») 19 ✓

Краев В. Ф., Кущ П. Е., Колот Э. И. Инженерно-геологические условия Украинских Карпат 28 ✓

Толстый М. И., Молявко В. Г., Гасанов Ю. Л., Острафийчук И. М. Схема орогенного вулканализма Карпат и Паннонского массива 38 ✓

Шковыра Ю. Д. Некоторые особенности разломной тектоники Южного Приингулья 43 ✓

Лебедь Н. С. О взаимосвязи геотектонического развития Днепровско-Донецкого авлакогена и локальных структур в осадочном чехле 50 ✓

Знаменская Т. А. Толгровый кряж и его место в структуре юго-западной окраины Восточно-Европейской платформы 57 ✓

Белевцев Я. Н., Жукова А. М. Особенности распределения и миграции урана в связи с процессами метаморфизма и ультратрансформизма (на примере Украинского щита) 68 ✓

Кузнецова С. В., Ивантишина О. М., Оболенцев А. В., Полтораков Г. И. Геолого-минералогическая характеристика Лозовского проявления ртути в Горном Крыму 80 ✓

Розенталь А. М., Заикин В. В. Распространение зон угленакопления в Донецком бассейне 86 ✓

Берченко О. И. О фациальной приуроченности известковых водорослей в турнейских отложениях Донбасса 96 ✓

Михелис А. А. Характеристика пыльцы и спор и расчленение разрезов палеогена Приазовья 105 ✓

Краткие научные сообщения

Доленко Г. Н. Институту геологии и геохимии горючих ископаемых АН УССР — 25 лет 116 ✓

Куличенко В. Г., Люльев Ю. Б., Люльева С. А. Миоценовые отложения северо-западного шельфа Черного моря 121 ✓

Фисуненко О. П. Два новых растения из каменноугольных отложений Донецкого бассейна 125 ✓

Бархатова Н. Н., Берлин Г. С., Зернечкий Б. Ф., Хабаков А. В. Определение кальций-магниевым методом температур среды обитания некоторых современных фораминифер в тропической зоне Индо-Тихоокеанской области 130 ✓

Ищенко А. А. Палеобиологическая характеристика силурской и раннедевонской флор Подольского Приднестровья 133 ✓